

Jakub Balcerzak

Struktury danych i złożoność obliczeniowa

Projekt 2

1. Opis projektu, założenia, pomiary:

Celem projektu była implementacja algorytmów grafowych w tym: algorytmów Prima, Kruskala dla problemu minimalnego drzewa rozpinającego oraz Dijkstry, Bellmana-Forda dla problemu najkrótszej ścieżki z jednym źródłem.

Dla problemu MST graf musi być spójny oraz nieskierowany. W przypadku najkrótszej ścieżki musi być on skierowany i nie powinien zawierać cykli ujemnych.

Tworzony graf reprezentowany jest w pamięci komputera na dwa sposoby, jako macierz sąsiedztwa oraz lista sąsiedztwa.

W przypadku pierwszym założono, że wagi krawędzi reprezentowane są przez wartości całkowite, a liczba 0 zarezerwowana została na umowną wartość wskazującą na brak krawędzi pomiędzy dwoma wierzchołkami.

W programie zaimplementowano funkcję *createList()*, która na podstawie macierzy sąsiedztwa generuje kolejne listy sąsiadów. Zatem, aby graf był reprezentowany przez listę, wpierw konieczne jest istnienie macierzy sąsiedztwa.

Program umożliwia generację grafu (punkt 2.) oraz wczytanie jego struktury z pliku .txt, w którym w pierwszej linii znajdują się rozdzielone spacjami odpowiednio: liczba krawędzi, liczba wierzchołków, wierzchołek początkowy, wierzchołek końcowy. Kolejne linie zawierają informacje o krawędziach w kolejności: wierzchołek początkowy, wierzchołek końcowy, waga krawędzi. Każda z wartości rozdzielona musi być znakiem separatora. Dodatkowo ze względów praktycznych utworzono dwie oddzielne funkcje realizujące wczytywanie grafu nieskierowanego lub skierowanego.

Pomiary przeprowadzono w pętli wykonującej się stukrotnie, zebrane wyniki zostały uśrednione. Przy każdym obiegu generowany był nowy graf, a sam pomiar obejmował jedynie część kodu odpowiedzialną za wykonanie się danego algorytmu. W celu minimalizacji narzutu czasowego pominięto wyświetlanie wyników.

Podczas pomiarów należało dla każdego algorytmu wyznaczyć 5 reprezentatywnych ilości wierzchołków w grafie oraz przeprowadzić pomiary dla jego gęstości odpowiednio: 25%, 50%, 75% i 99%.

Ilości wierzchołków były dobierane eksperymentalnie tak, aby czasy wykonywania się algorytmów były rozsądne. Przy czym dla danego algorytmu w obu reprezentacjach liczby wierzchołków były takie same.

Ponieważ algorytm Kruskala dla listy sąsiedztwa wykonywał się w znaczącym czasie już przy 300 wierzchołkach, a Bellmana-Forda przy 500, przyjęto te liczby, jako górne ograniczenia dla wymienionych algorytmów.

2. Generowanie grafu:

2.1. nieskierowanego:

Niech V – liczba wierzchołków, E – liczba krawędzi, d – gęstość grafu w %, wówczas:

$$E = (d/100) * (V * (V-1) / 2)$$

Graf nieskierowany jest generowany dla problemu MST. Należy zadbać o to, by wystąpiło w nim jakiejkolwiek minimalne drzewo rozpinające. Dlatego przyjęto następującą strategię: w pierwszej tworzona jest gwiazda o środku w wierzchołku zerowym, a jeżeli pula krawędzi się nie wyczerpie, wtem pozostałe krawędzie zostają losowo rozdysponowane pomiędzy pozostałe wierzchołki.

2.2. skierowanego:

Niech V – liczba wierzchołków, E – liczba krawędzi, d – gęstość grafu w %, wówczas:

$$E = (d/100) * (V * (V))$$

Dla problemu najkrótszej ścieżki generowany jest graf skierowany, w którym należy zapewnić wystąpienie jakiejkolwiek ścieżki. Wobec czego przyjęto następującą strategię: każdy wierzchołek łączony jest z następnym w kolejności wierzchołkiem, aż ostatni wierzchołek nie zostanie połączony z wierzchołkiem zerowym. Przykład dla $V = 5$ i $d = 20\%$: $0 \rightarrow 1 \rightarrow 2 \rightarrow 3 \rightarrow 4 \rightarrow 0$. Jeżeli pula krawędzi się nie wyczerpie, wówczas pozostałe krawędzie zostają losowo rozdysponowane pomiędzy pozostałe wierzchołki.

W grafie skierowanym dopuszczalne są pętle.

2.3. wagi krawędzi:

Oprócz losowego wyboru wierzchołków, również losowane zostają wagi krawędzi je łączące. Wagi te losowane są z przedziału $[1, 100000]$ o rozkładzie równomiernym.

3. Minimalne drzewa rozpinające – MST:

3.1. Wstęp teoretyczny:

Szybkość działania algorytmu Prima dla reprezentacji listowej zależy od sposobu implementacji kolejki priorytetowej. Jeżeli kolejka zaimplementowana została, jako kopiec binarny oraz budowana jest z nieuporządkowanej tablicy wówczas inicjalizacja kolejki wynosi $O(V)$. Każda operacja usunięcia korzenia kopca to $O(\lg V)$, ponieważ kolejkę opróżniamy do końca, to całkowity czas tej operacji wynosi $O(V \lg V)$. Dodatkowo operacja modyfikacji klucza może zostać zaimplementowana ze złożonością $O(\lg V)$. Całkowity czas działania algorytmu Prima, przy tak określonych warunkach implementacyjnych wynosi $O(E \lg V)$. Można poprawić ten czas do $O(E + V \lg V)$, jeżeli zamiast kopca binarnego zostanie użyty kopiec Fibonacciego. Literatura nie podaje złożoności dla reprezentacji macierzowej.

Algorytm Kruskala z kolei zależy jest od sposobu implementacji struktury zbiorów rozłącznych. Czas sortowania krawędzi wynosi $O(E \lg E)$, a całkowita złożoność tego algorytmu określana jest jako $O(E \lg V)$, a zatem równa jest złożoności algorytmu Prima. Literatura nie precyzuje, jakiej reprezentacji grafu dot. podane złożoności.

3.2. Pomiar:

Wszystkie zmierzone czasy są wyrażane w ms.

Algorytm Prima – macierz sąsiedztwa:

| $\begin{matrix} d \\ V \end{matrix}$ | 25% | 50% | 75% | 99% |
|--------------------------------------|-------|-------|-------|-------|
| 500 | 1,91 | 2,51 | 2,13 | 1,51 |
| 875 | 5,63 | 7,55 | 6,29 | 4,63 |
| 1250 | 11,53 | 15,33 | 13,03 | 9,65 |
| 1625 | 19,44 | 26,39 | 22,07 | 16,42 |
| 2000 | 29,65 | 39,86 | 33,42 | 24,87 |

Algorytm Prima - lista sąsiedztwa:

| $\begin{matrix} d \\ V \end{matrix}$ | 25% | 50% | 75% | 99% |
|--------------------------------------|--------|--------|--------|--------|
| 500 | 4,74 | 8,21 | 11,66 | 14,48 |
| 875 | 19,33 | 35,88 | 51,26 | 68,49 |
| 1250 | 50,90 | 97,72 | 144,56 | 188,46 |
| 1625 | 110,58 | 215,37 | 313,28 | 414,18 |
| 2000 | 205,44 | 397,52 | 587,44 | 786,93 |

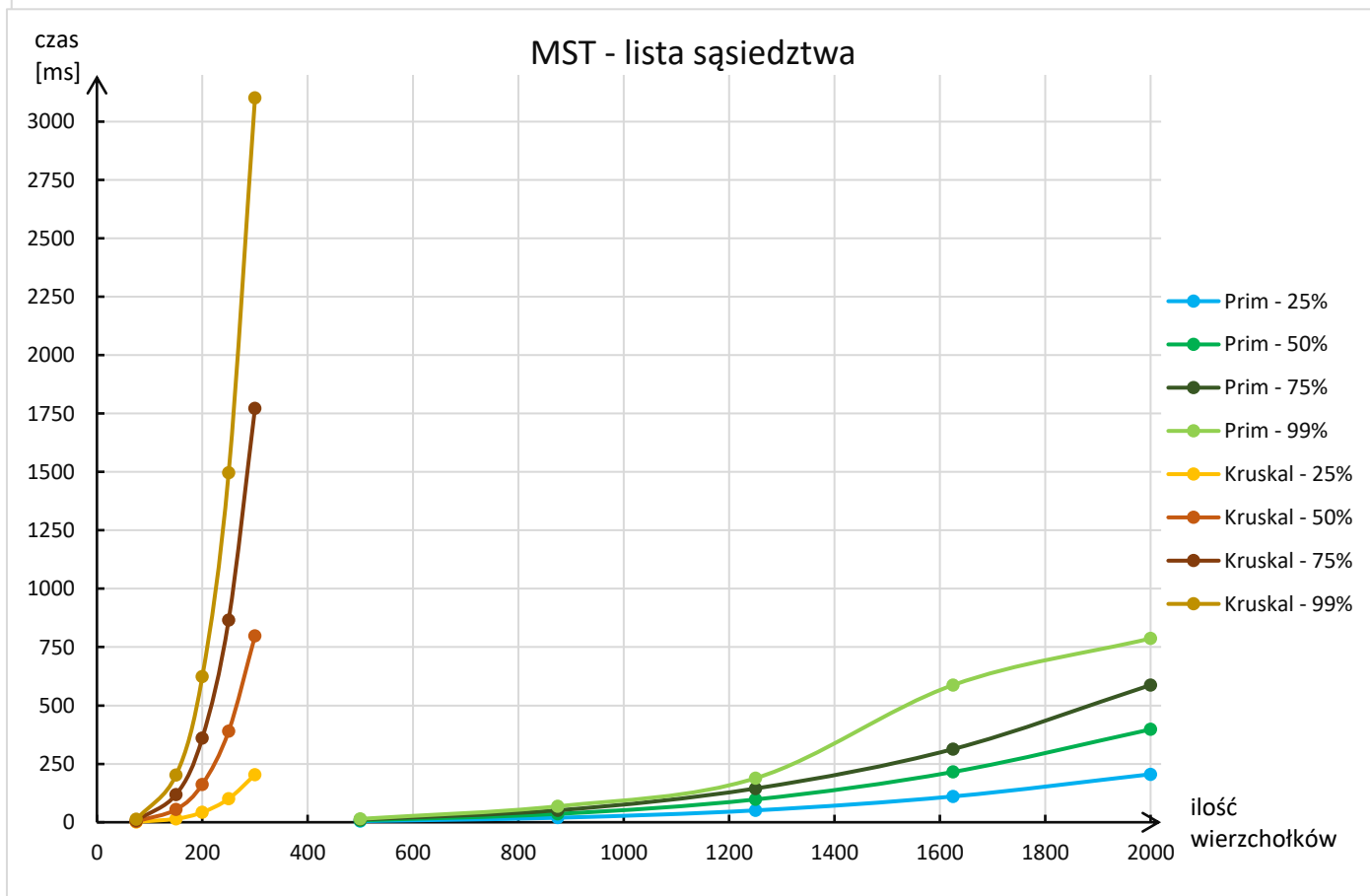
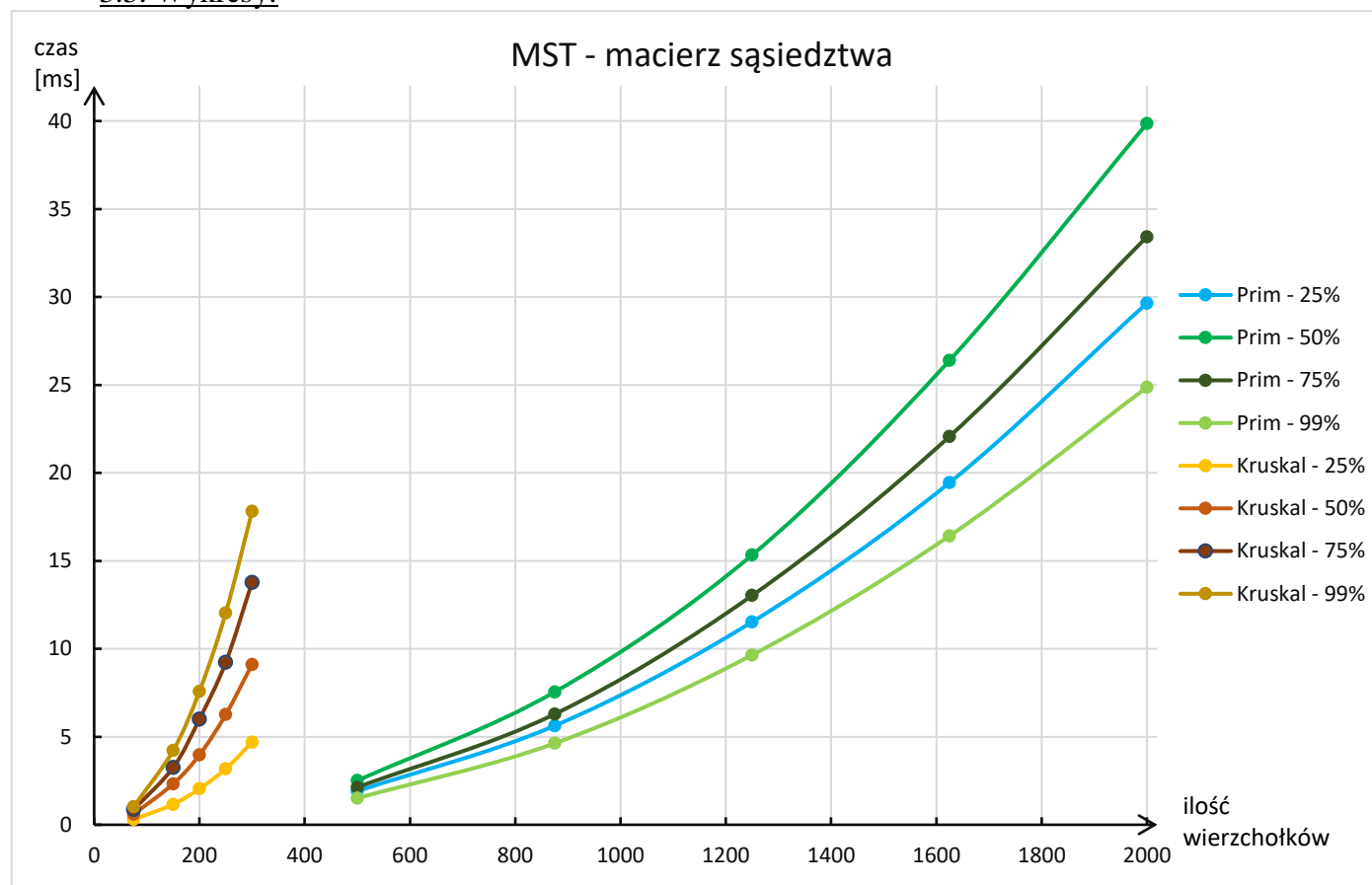
Algorytm Kruskala – macierz sąsiedztwa:

| $\begin{matrix} d \\ \backslash \\ V \end{matrix}$ | 25% | 50% | 75% | 99% |
|----------------------------------------------------|------|------|-------|-------|
| 75 | 0,30 | 0,60 | 0,86 | 1,02 |
| 150 | 1,16 | 2,32 | 3,25 | 4,22 |
| 200 | 2,05 | 3,97 | 6,00 | 7,58 |
| 250 | 3,18 | 6,26 | 9,23 | 12,04 |
| 300 | 4,69 | 9,11 | 13,78 | 17,82 |

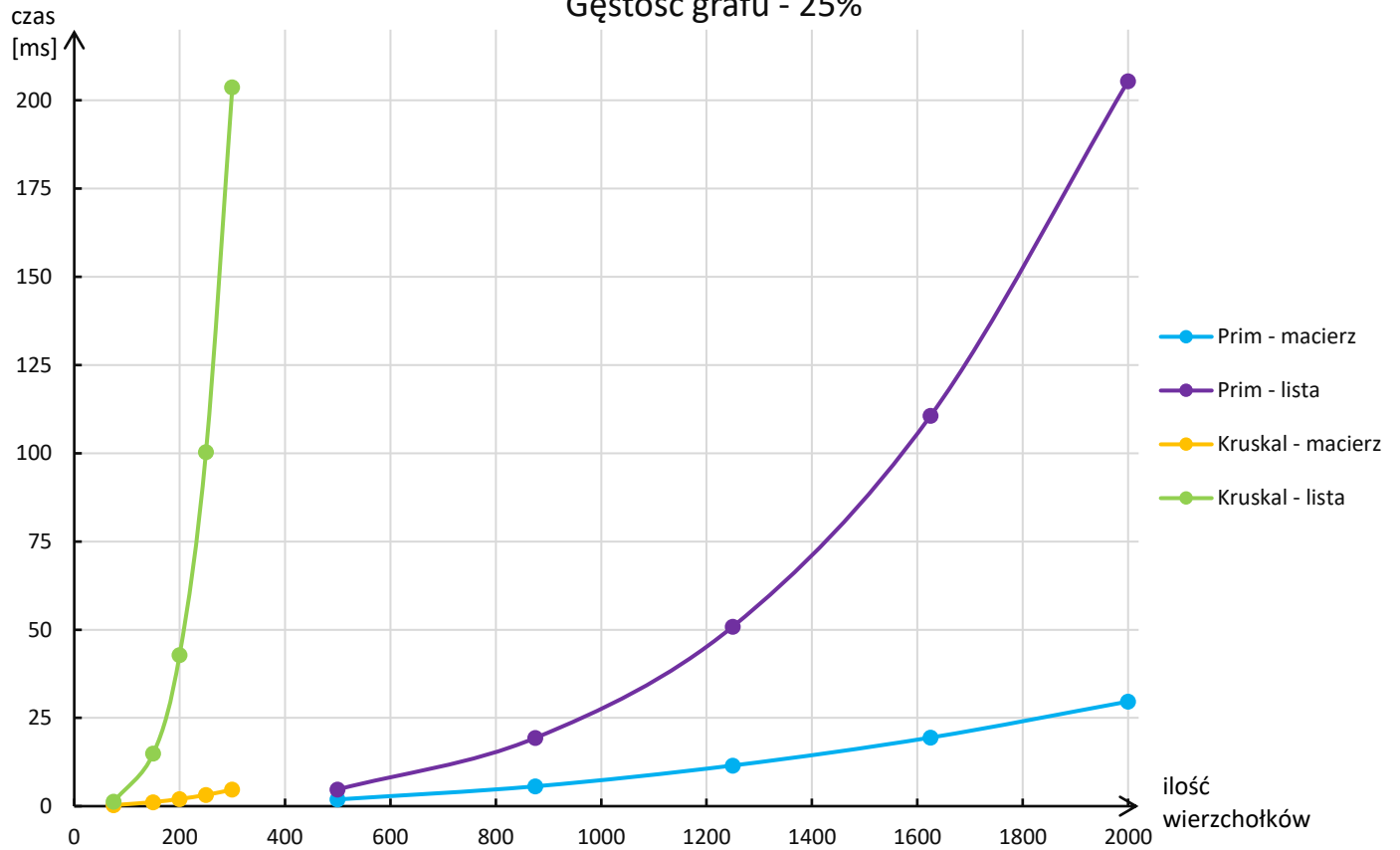
Algorytm Kruskala – lista sąsiedztwa:

| $\begin{matrix} d \\ \backslash \\ V \end{matrix}$ | 25% | 50% | 75% | 99% |
|----------------------------------------------------|--------|--------|---------|---------|
| 75 | 1,30 | 3,97 | 8,09 | 12,65 |
| 150 | 14,90 | 54,39 | 118,39 | 201,59 |
| 200 | 42,86 | 162,16 | 360,54 | 623,36 |
| 250 | 100,32 | 389,79 | 865,69 | 1495,92 |
| 300 | 203,69 | 797,63 | 1772,50 | 3101,22 |

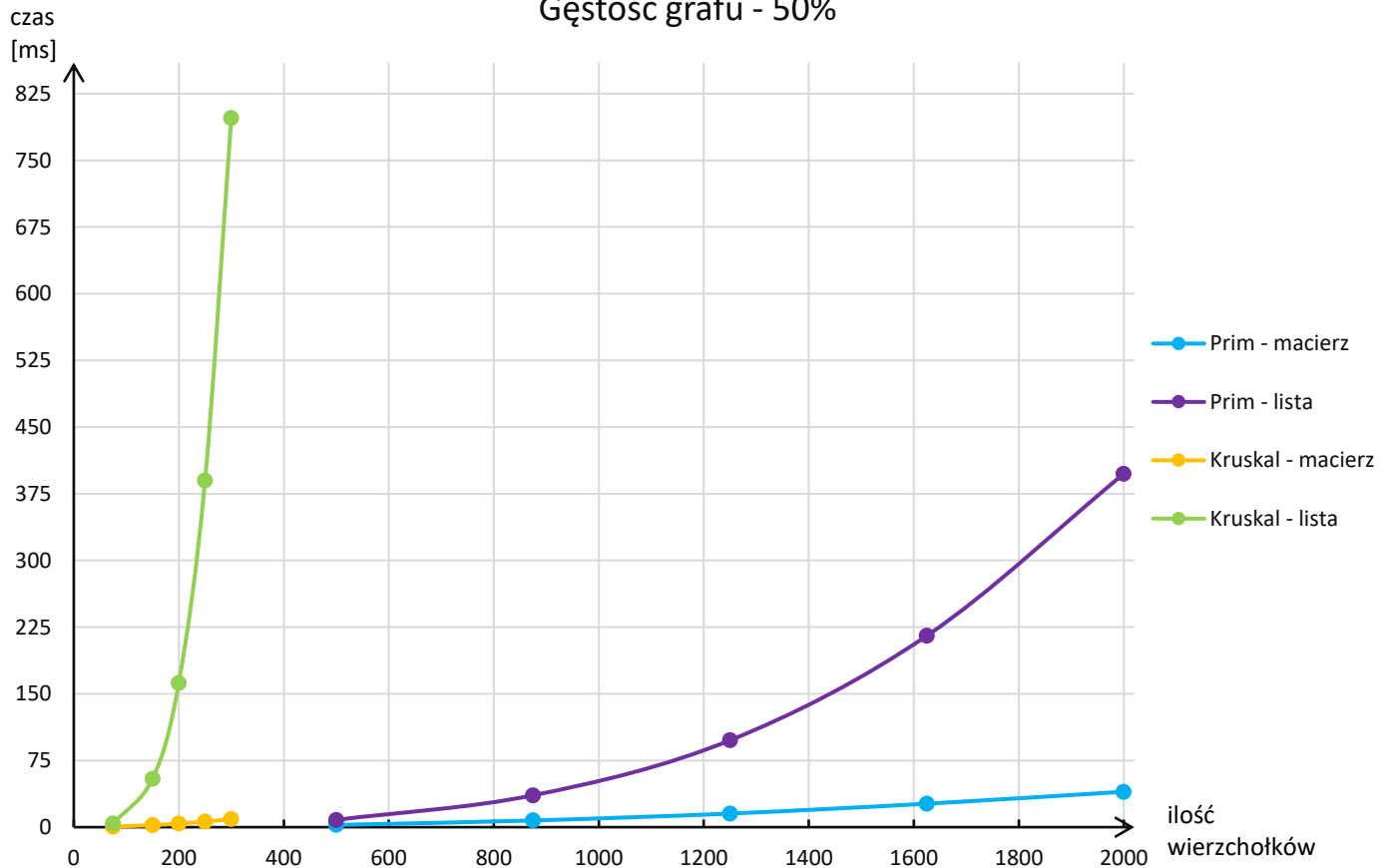
3.3. Wykresy:



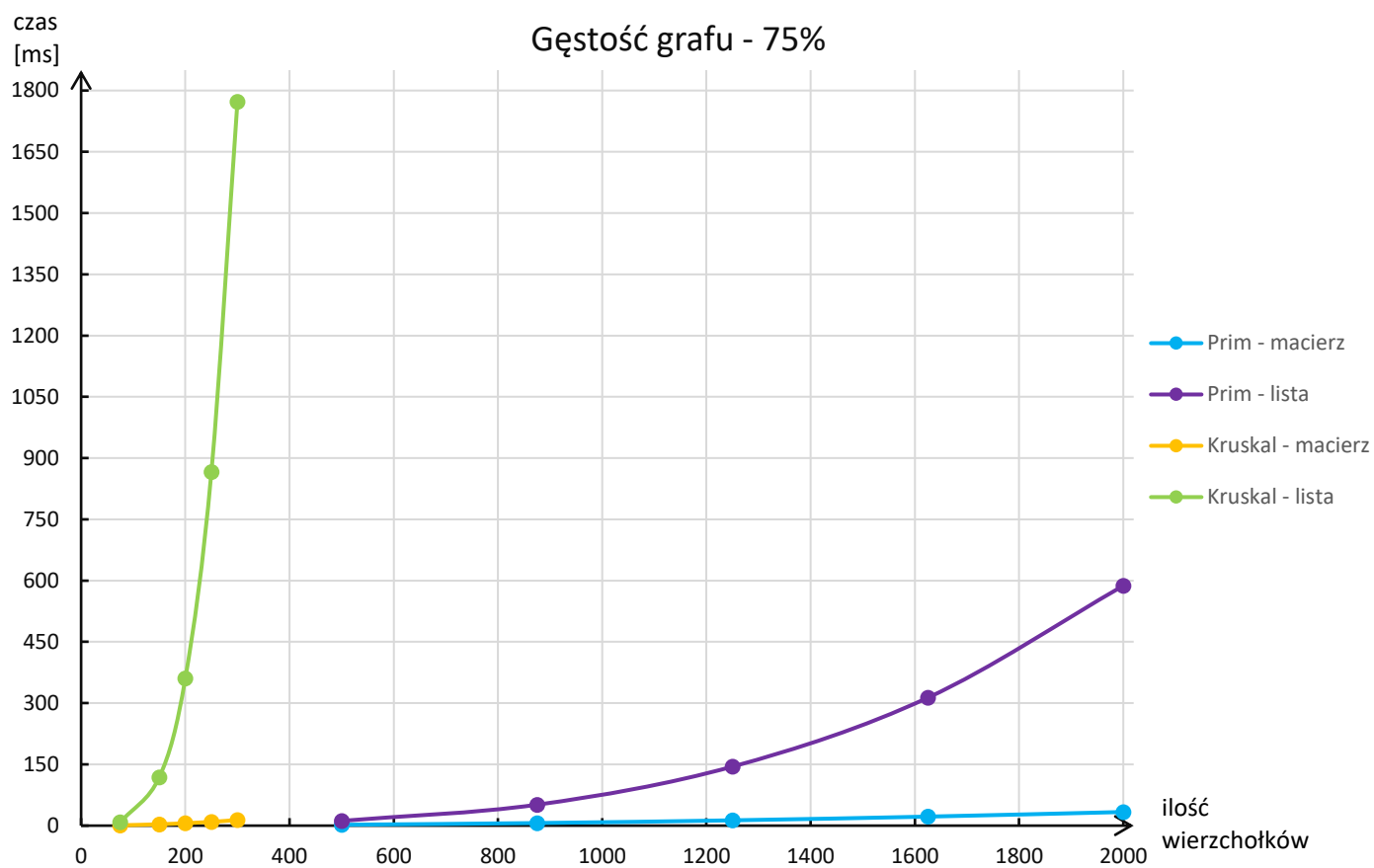
Gęstość grafu - 25%



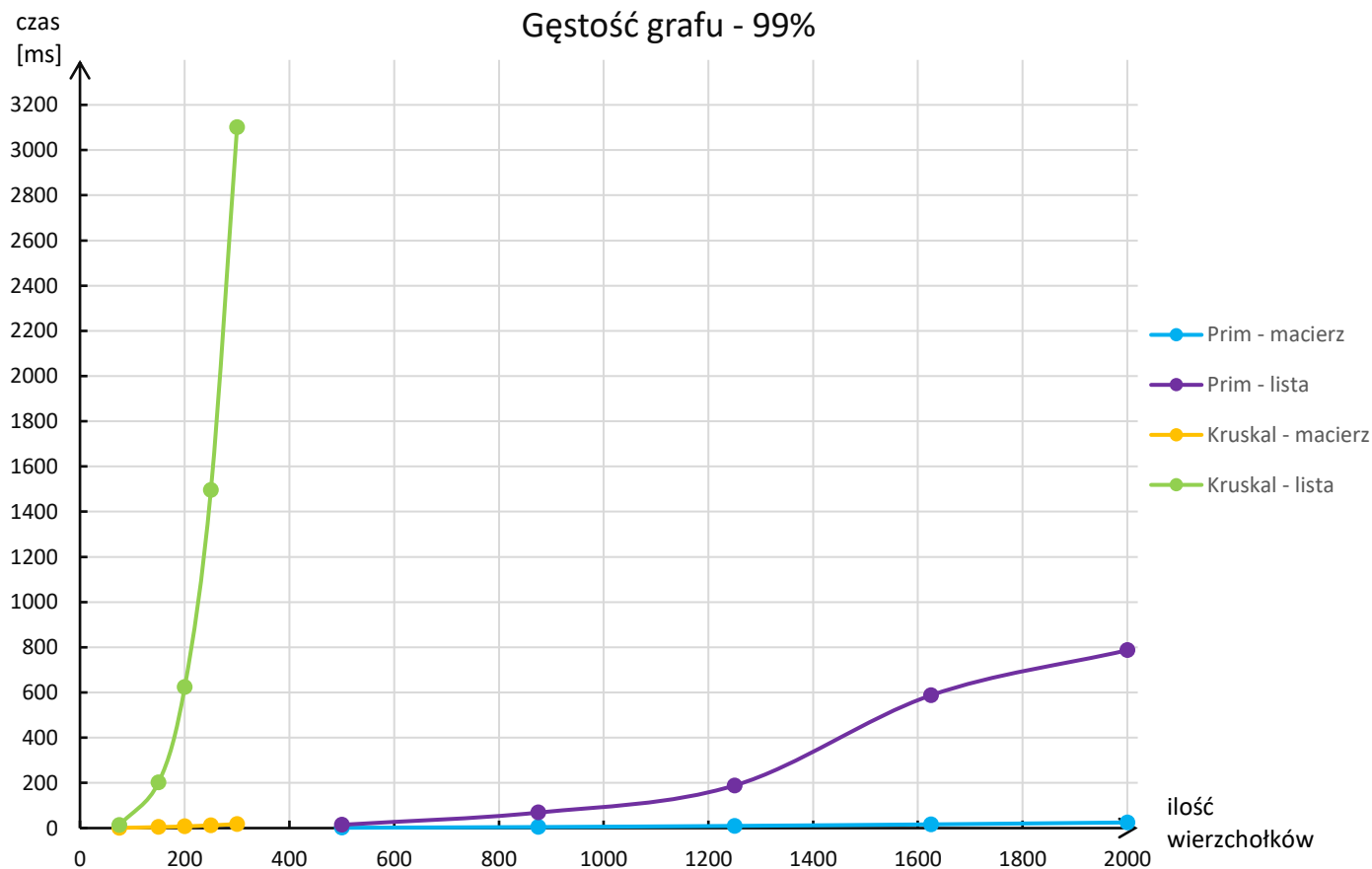
Gęstość grafu - 50%



Gęstość grafu - 75%



Gęstość grafu - 99%



3.4. Wnioski:

Dla algorytmu Prima zaimplementowano kolejkę priorytetową w oparciu o kopiec binarny, jego budowa odbywa się poprzez wstawianie nowych węzłów, zatem złożoność inicjalizacji kolejki wynosi $O(V \lg V)$. Proces aktualizacji kluczy znajdujących się w kolejce posiada pesymistyczny czas $O(V)$, gdyż przed wykonaniem modyfikacji, przeszukana zostaje tablica w poszukiwaniu odpowiedniego węzła.

Kształt wykresów w przypadku algorytmu Prima dla obu reprezentacji grafów jest podobny do kształtu funkcji $f(x) = x \lg x$. Można wnioskować zatem, że złożoność zaimplementowanego algorytmu w przybliżeniu odpowiada złożoności teoretycznej $O(E \lg V)$.

O ile w przypadku listy sąsiedztwa dla rosnącej gęstości grafu wzrasta czas wykonywania się algorytmu, o tyle zaskakuje fakt, że w przypadku reprezentacji macierzowej, najdłuższe czasy algorytm Prima osiąga dla gęstości grafu równej 50%, a najmniejsze dla gęstości 99%. Ponieważ sposób pomiaru czasu był identyczny dla każdego rozpatrywanego przypadku, należy stwierdzić, że wspomniane zjawisko musi być skutkiem sposobu implementacji algorytmu, a nie błędem w pomiarach.

Dodatkowo należy zauważyć, że dla wykresów odpowiadających badanym gęstością zauważalny jest znacznie dłuższy czas wykonywania się algorytmu Prima w przypadku reprezentacji listowej, niż macierzowej. Wytlumaczeniem tego jest fakt, że macierz jest tablicą dwuwymiarową i dostęp do jej elementów po indeksie wynosi $O(1)$ (zajmuje stały czas), a dostęp do elementu na liście sąsiedztwa, wymaga przeglądnięcia i sprawdzenia wszystkich jej elementów.

W przypadku reprezentacji macierzowej również zamiast kolejki priorytetowej, zastosowano tablicę przechowującą klucze, w której indeks tablicy odpowiadał indeksowi wierzchołka. Takie usprawnienie algorytmu jest wymienione również w literaturze oraz innych źródłach.

Do sortowania krawędzi w algorytmie Kruskala wykorzystano istniejącą już kolejkę priorytetową. Proces wstawiania krawędzi wynosić powinien $O(E \lg E)$, a usunięcie korzenia kopca powinno zajmować czas $O(\lg E)$.

Pomimo tego zauważalne na pierwszy rzut oka są drastyczne różnice w czasie wykonywania się algorytmu Kruskala dla reprezentacji listowej, a macierzowej. Fakt ten wynika ze sposobu implementacji algorytmu.

W przypadku macierzy sąsiedztwa wykorzystany został fakt, że jest on symetryczna względem swojej przekątnej. Zatem podczas wstawiania krawędzi do kolejki nie trzeba było sprawdzać, czy dana krawędź w kolejce już się znalazła. Zapewniało nam to właśnie przetwarzanie połowy macierzy.

Jednak w przypadku listy należało już kontrolować, aby krawędź nie została ponownie dodana. W tym celu zaimplementowano dodatkową funkcję kolejki, która wyszukiwała w tablicy (w kopcu), czy dana krawędź już się w niej znajduje. Czas każdej takiej operacji wynosił $O(E)$, a ponieważ do kolejki wkładane były wszystkie krawędzie złożoność czasowa degenerowała się do $O(E^2)$. Ta degeneracja miała swoje skutki dla całego algorytmu Kruskala dla reprezentacji listowej i sprawiła, że już w przypadku 300 wierzchołków algorytm Kruskala wykonywał się dłużej, niż algorytm Prima dla 2000 wierzchołków.

Co więcej, jak wynika z przeprowadzonych pomiarów algorytm Prima działa szybciej, niż algorytm Kruskala. Zatem podczas implementacji nie udało uzyskać się tożsamyh złożoności, o których czytamy w literaturze.

4. Najkrótsza ścieżka z jednym źródłem:

4.1. Wstęp teoretyczny:

Tak jak w przypadku alg. Prima, złożoność czasowa algorytmu Dijkstry również zależy od sposobu implementacji kolejki priorytetowej. Stosując do jej implementacji kopiec binarny oraz wiążąc wierzchołek z elementem kopca poprzez odpowiedni odnośnik – uchwyt, możemy osiągnąć czas całkowity równy $O((V + E) \lg V) = O(E \lg V)$. Czas ten może w najgorszym wypadku wynieść również $O(V^2)$. Z kolei użycie kopców Fibonacciego w miejsce kopca binarnego może skutkować poprawieniem się złożoności czasowej do $O(V \lg V + E)$. Omawiane złożoności dotyczą grafów reprezentowanych, jako listy sąsiedztwa. Literatura nie podaje zmian występujących w przypadku reprezentacji macierzowej.

Dla algorytmu Bellmana – Forda niezależnie od sposobu reprezentacji grafu wszystkie krawędzie przetwarzane są $|V - 1|$ razy oraz dodatkowy raz na koniec, by sprawdzić wystąpienie ujemnych cykli. Złożoność tego algorytmu wynosi $O(V E)$. Literatura nie podaje sposobów na usprawnienie działania tego algorytmu.

4.2. Pomiary:

Algorytm Dijkstry – macierz sąsiedztwa:

| $V \backslash d$ | 25% | 50% | 75% | 99% |
|------------------|-------|-------|-------|-------|
| 500 | 2,26 | 2,47 | 2,16 | 1,60 |
| 750 | 4,80 | 5,38 | 4,85 | 3,75 |
| 1000 | 8,48 | 9,40 | 9,15 | 6,60 |
| 1250 | 13,32 | 15,19 | 13,32 | 10,34 |
| 1500 | 19,22 | 21,20 | 19,54 | 14,93 |

Algorytm Dijkstry – lista sąsiedztwa:

| $V \backslash d$ | 25% | 50% | 75% | 99% |
|------------------|-------|-------|-------|-------|
| 500 | 1,23 | 1,77 | 2,32 | 2,70 |
| 750 | 2,67 | 4,00 | 5,00 | 6,04 |
| 1000 | 4,79 | 6,83 | 9,18 | 10,53 |
| 1250 | 7,18 | 10,84 | 13,79 | 16,60 |
| 1500 | 10,72 | 15,76 | 20,58 | 24,54 |

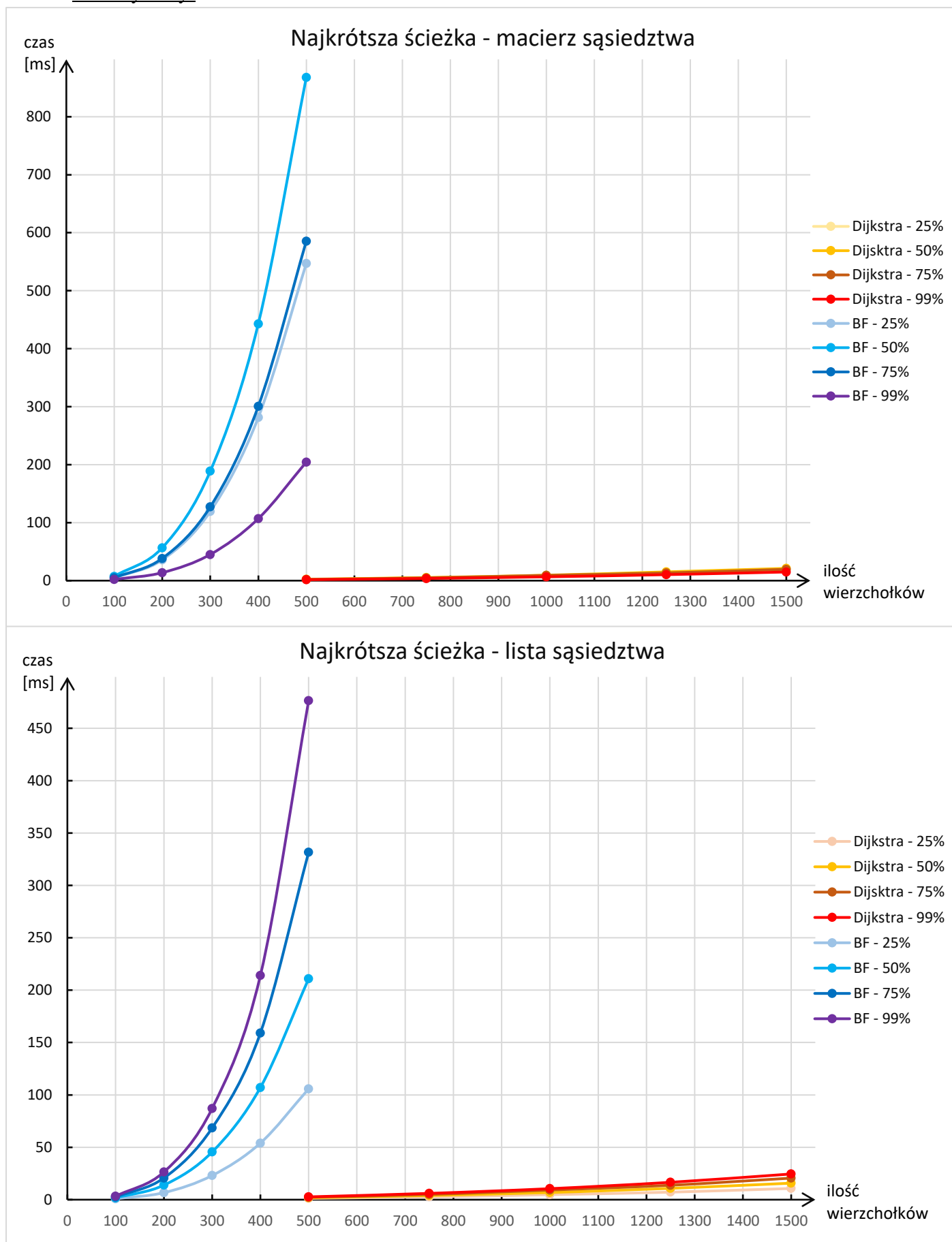
Algorytm Bellmana – Forda – macierz sąsiedztwa:

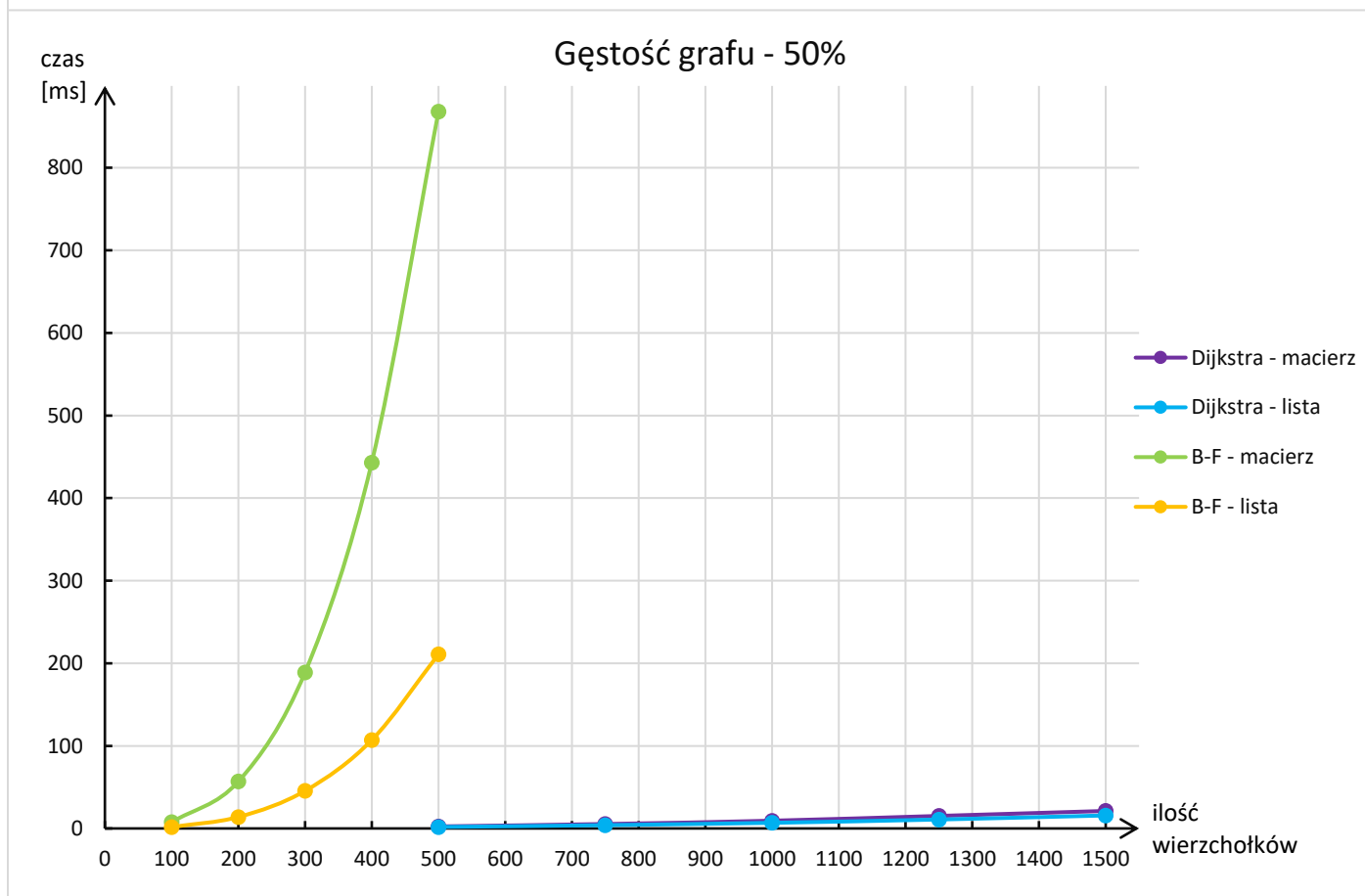
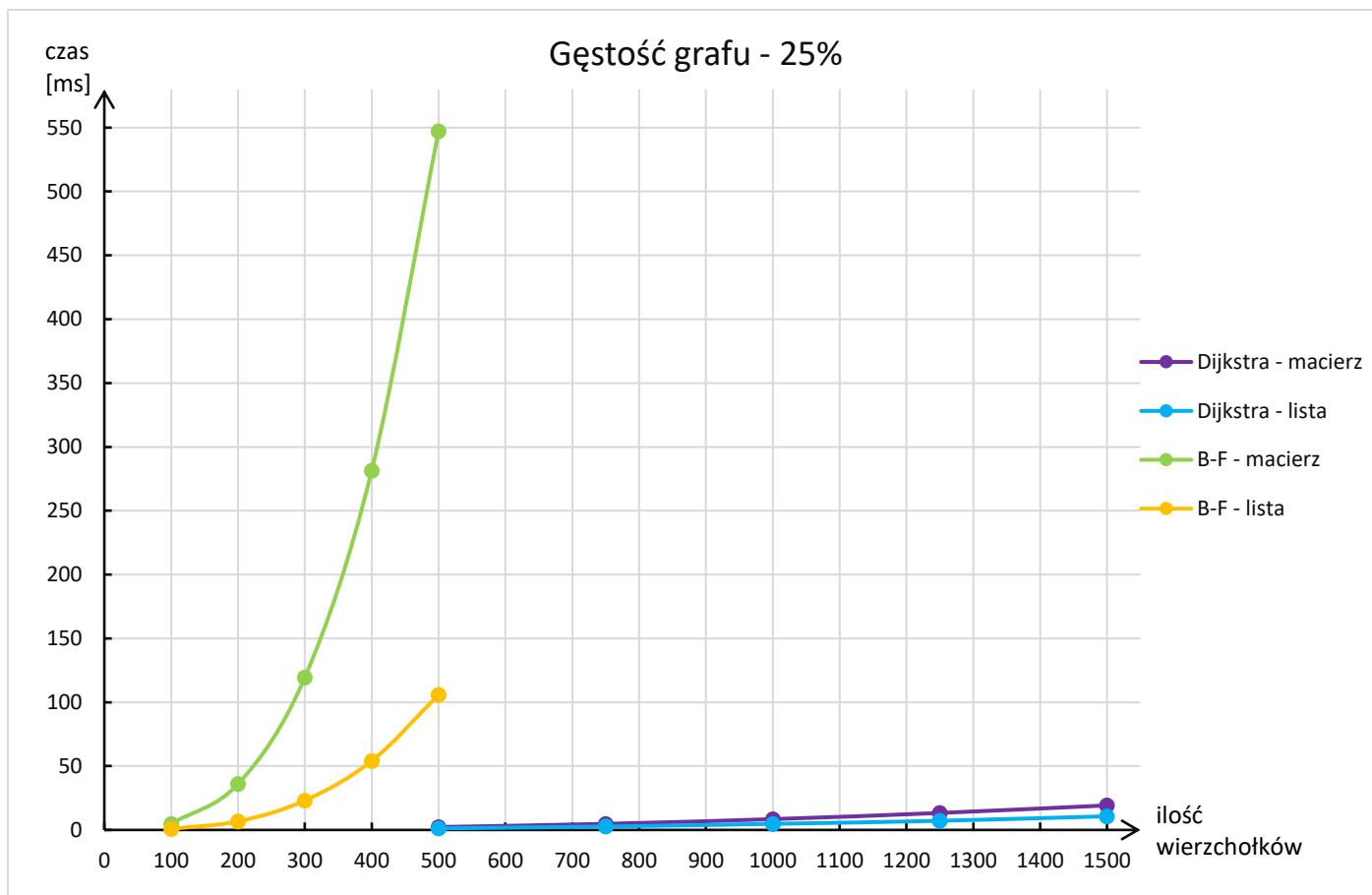
| $\begin{matrix} d \\ V \end{matrix}$ | 25% | 50% | 75% | 99% |
|--------------------------------------|--------|--------|--------|--------|
| 100 | 4,82 | 7,58 | 5,01 | 2,05 |
| 200 | 36,00 | 56,85 | 38,41 | 13,81 |
| 300 | 119,47 | 188,97 | 127,36 | 45,18 |
| 400 | 281,47 | 443,14 | 300,86 | 106,93 |
| 500 | 547,13 | 868,13 | 585,57 | 204,62 |

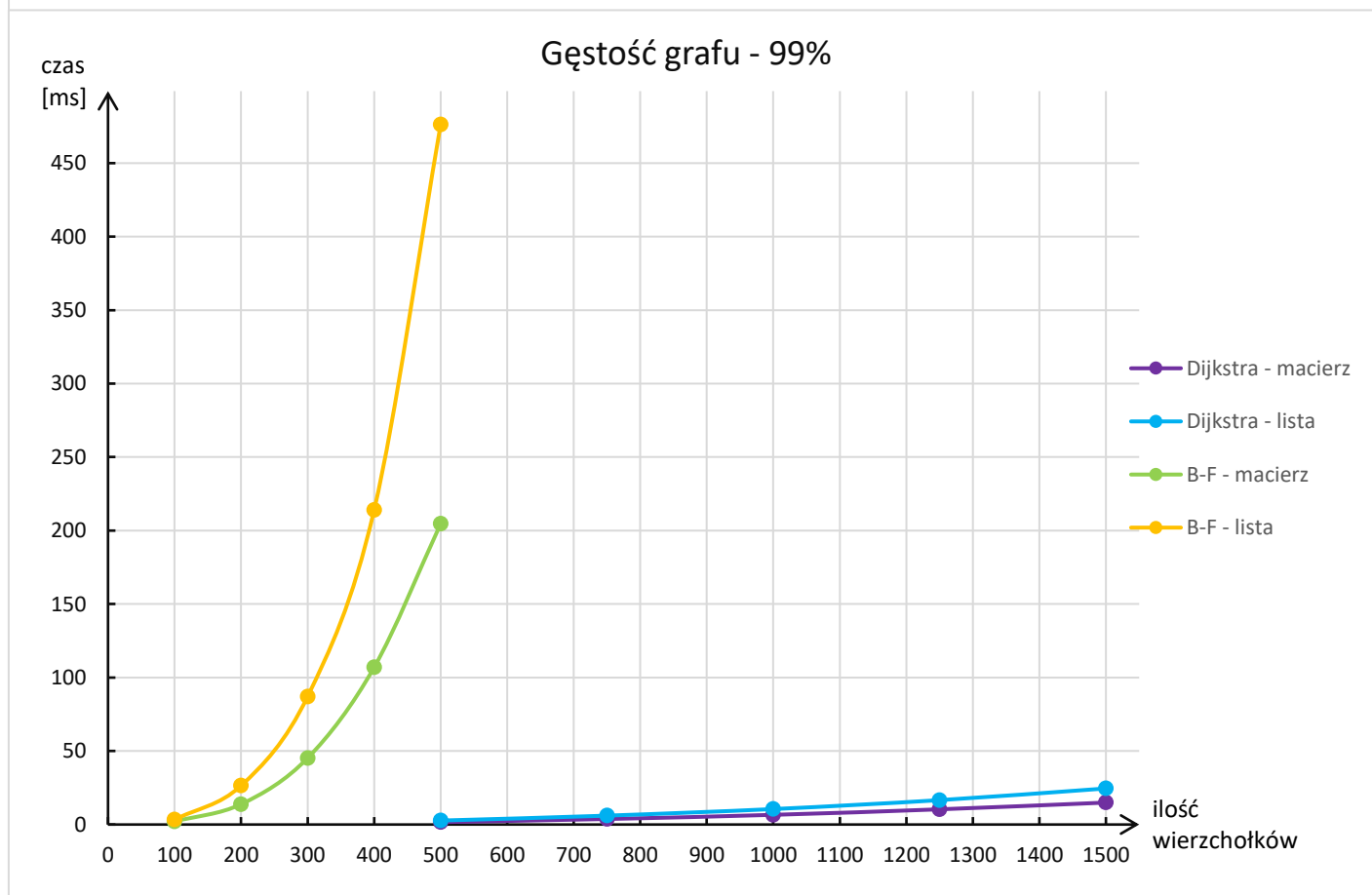
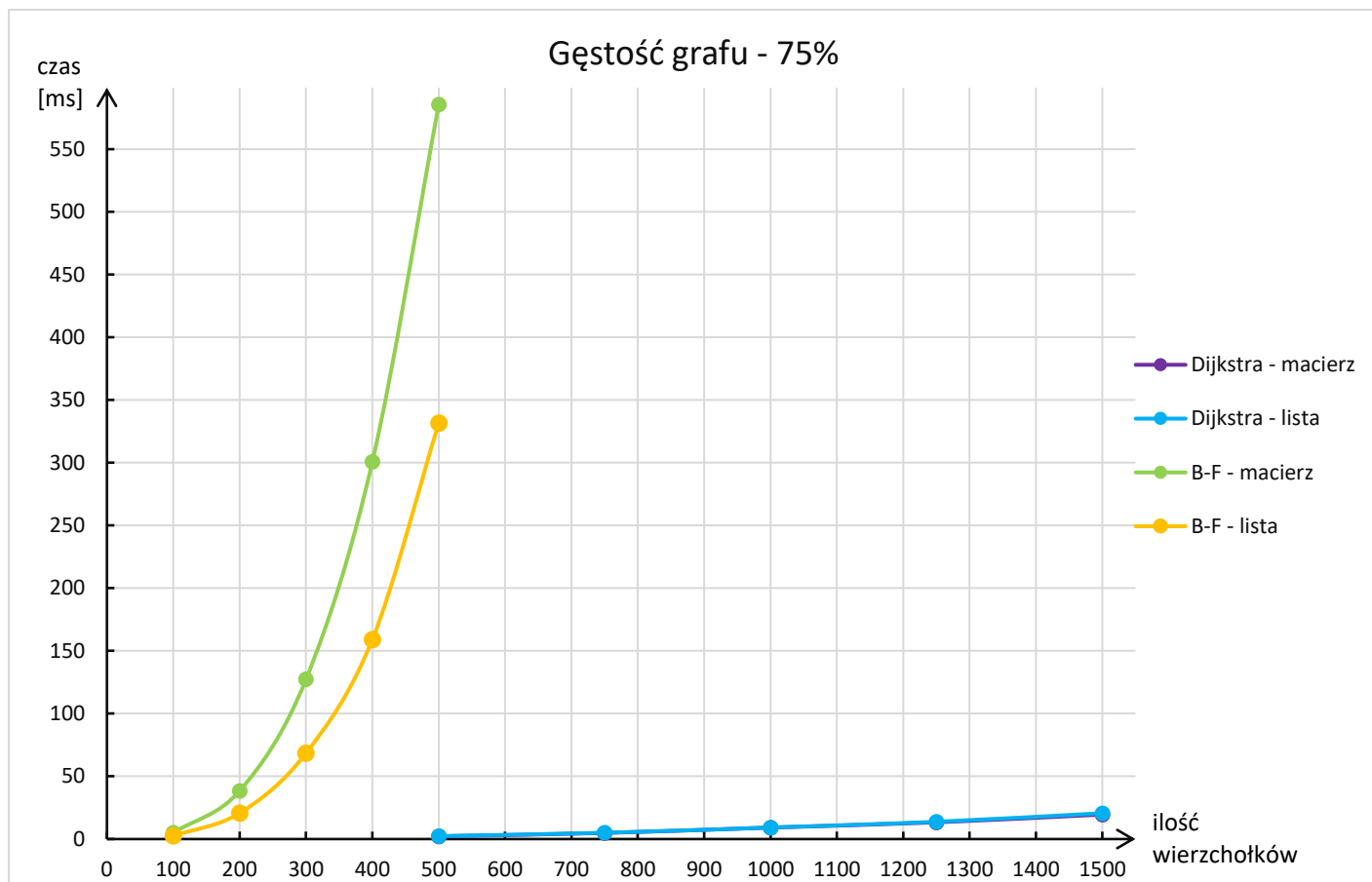
Algorytm Bellmana – Forda – lista sąsiedztwa:

| $\begin{matrix} d \\ V \end{matrix}$ | 25% | 50% | 75% | 99% |
|--------------------------------------|--------|--------|--------|--------|
| 100 | 0,89 | 1,73 | 2,50 | 3,33 |
| 200 | 6,70 | 13,88 | 20,65 | 26,41 |
| 300 | 23,06 | 45,51 | 68,45 | 87,07 |
| 400 | 54,01 | 107,04 | 159,08 | 213,97 |
| 500 | 105,83 | 210,90 | 331,67 | 476,34 |

4.3. Wykresy:







4.4. Wnioski:

W algorytmie Dijkstry dla reprezentacji listowej wykorzystywana jest zaimplementowana kolejka priorytetowa. W przypadku reprezentacji macierzowej zamiast kolejki priorytetowej, zastosowano tablicę przechowującą klucze, w której indeks tablicy odpowiadał indeksowi wierzchołka.

Śledząc przebieg wykresów dla algorytmu Dijkstry można wysunąć wniosek, że sposób jego implementacji dla obu reprezentacji grafu osiągnął złożoności podawane w literaturze. Przyrównując je do wykresów dla algorytmu Prima złożoności te mogą wynosić $O(E \lg V)$. Płaski przebieg linii jest skutkiem przyjętego zakresu na osi OY spowodowanego przez duży rozrzut wartości wprowadzony przez algorytm Bellmana – Forda.

Co więcej w przypadku małych gęstości dłuższy czas wykonywania się zajmuje algorytm w reprezentacji macierzowej, a dla większych gęstości ten w reprezentacji listowej. Wy tłumaczenie tego faktu jest następujące: w przypadku istnienia małej liczby krawędzi złożoność przeglądania krawędzi grafu powinna być podobna dla obu reprezentacji. Im jednak liczba krawędzi staje się większa, tym przeglądania ich w postaci macierzy bierze górę (w kontekście złożoności czasowej) nad przeglądaniem kolejnych list sąsiadów.

Wykresy dla algorytmu Bellmana – Forda w obu reprezentacjach wykazują dużą złożoność czasową, co jest zgodne z wiedzą teoretyczną, gdzie wynosi ona $O(V E)$, a jeżeli gęstość grafu wynosi w przybliżeniu 100%, czyli $E \approx V^2$, to złożoność ta degeneruje się nawet do $O(V^3)$. Zestawienie otrzymanych wykresów z wykresem funkcji $f(x) = x^3$ wykazuje pewne analogie.

Czas wykonywania się omawianego algorytmu dla reprezentacji listowej jest większy od czasu dla reprezentacji macierzowej dopiero przy gęstości grafu wynoszącej 99%. Zatem dopiero dla gęstości $>75\%$ procedura Bellmana – Forda wykonywana na liście sąsiedztwa trwa dłużej, niż ta przeprowadzana na macierzy.

Należy zauważyć, że podobnie, jak przy algorytmie Prima w reprezentacji macierzowej, tak i tu występuje podobna anomalia. Tym razem dotycząca obu procedur znajdowania najkrótszych ścieżek. Na pierwszym wykresie widać, że czasy dla gęstości 50% znów są największe, a te dla 99% najmniejsze. Pozwala to na dalsze wnioskowanie, że zaistniała sytuacja nie jest o tyle skutkiem implementacji tychże algorytmów, co wynika ze sposobu reprezentacji grafu w pamięci komputera (lub jest sumą tych dwóch składowych).

W ostatecznym porównaniu zaimplementowanych algorytmów stwierdzić można, że algorytm Dijkstry jest znacznie szybszy od algorytmu Bellmana – Forda, aczkolwiek ze względu na istnienie kolejki priorytetowej na pewno pod względem złożoności pamięciowej wymaga on większej ilości miejsca. Podczas, gdy drugi algorytm przetwarza jedynie już utworzoną macierz lub listę sąsiadów.

5. Bibliografia:

1. T. H. Cormen, C. E. Leiserson, R. L. Rivest, C. Stein, *Wprowadzenie do algorytmów*, PWN Warszawa 2018, wydanie VII
2. <https://algs4.cs.princeton.edu/home/> - R. Sedgewick, *Algorithms*, 4th edition
3. http://eduinf.waw.pl/inf/alg/001_search/0122.php
4. http://antoni.sterna.staff.iiar.pwr.wroc.pl/sdizo/SDiZO_file.pdf
5. http://antoni.sterna.staff.iiar.pwr.wroc.pl/sdizo/SDiZO_time.pdf
6. http://antoni.sterna.staff.iiar.pwr.wroc.pl/sdizo/SDiZO_random.pdf